

НАБЛЮДЕНИЕ РАССЕЯНИЯ ЛАЗЕРНОГО ИЗЛУЧЕНИЯ НА ЧАСТОТАХ ω_0 И $2\omega_0$ ОБЛАСТЬЮ ПЛАЗМЫ С ПЛОТНОСТЬЮ СУЩЕСТВЕННО НИЖЕ КРИТИЧЕСКОЙ

*И.В.Александрова, А.Е.Данилов, Г.Корн, В.В.Орлов,
Г.В.Склизков, С.И.Федотов*

В экспериментах по сферическому нагреву термоядерных мишеней на установке "Дельфин-1" обнаружено явление рассеяния лазерного излучения на частотах ω_0 и $2\omega_0$ областью плазмы с плотностью существенно ниже критической. Показано, что размер области излучения на каждой из частот приблизительно в четыре раза превышает начальный диаметр мишени, причем эта область имеет резкую пространственную границу. Предложены возможные варианты объяснения наблюдаемых явлений.

Вопросы генерации гармоник основной частоты лазерного излучения при его распространении в плазме представляют большой интерес в связи с тем, что излучение механизма этого явления позволяет судить о тех процессах, которые протекают в плазме при ее нагреве мощным лазерным излучением. Генерация второй гармоники падающего излучения хорошо изучена экспериментально и теоретически^{1–3}, однако эти исследования относятся к генерации излучения на частоте $2\omega_0$ в области плазмы с критической плотностью.

В данной работе представлены результаты исследований по рассеянию низкоплотной плазмой ($n_e \sim 10^{19} \text{ см}^{-3}$) лазерного излучения на частотах ω_0 и $2\omega_0$ в экспериментах, проводимых на установке "Дельфин"^{4, 5}. Схема эксперимента представлена на рис. 1. Регистрация осуществлялась по двум различным каналам с помощью дифракционных спектрографов. Изображение плазмы передавалось на входную щель с помощью асферической оптики, светосила которой $D_0/f_0 = 1/2$ ($f_0 = 120 \text{ мм}$), масштаб увеличения равнялся единице.

В качестве диспергирующих элементов использовались вогнутые голограммические решетки со следующими параметрами: размер $50 \times 50 \text{ мм}^2$, светосила $D/f = 1/2$, число штрихов на единицу длины – 1500 мм^{-1} .

В первом канале в спектрографе использовалась схема Роуланда. Компенсация астигматизма осуществлялась с помощью отрицательной цилиндрической линзы с $f_k = 100 \text{ мм}$. При этом пространственное разрешение в плоскости изображения δ было не хуже 50 мкм , линейная дисперсия $d\lambda/dl$ составила величину 26 \AA/mm , увеличение оптической системы β равнялось 2,5.

Спектрограф второго сигнала построен по схеме Водсворта, в которой угол дифракции равен 0° , что обеспечивает стигматическое изображение объекта в этом направлении. Характеристики оптической системы: $\delta = 90 \text{ мкм}$, $d\lambda/dl = 40 \text{ \AA/mm}$, $\beta = 1,25$.

Необходимым условием регистрации исследуемого излучения является выполнение следующего соотношения:

$$E\tau > s, \quad (1)$$

где $E = \pi\eta B_u \frac{\delta\lambda}{\Delta\lambda} \frac{1}{\beta} \sin^2\theta$ – освещенность изображения, τ – время экспозиции, s – чувствительность фотоматериала. Здесь приняты следующие обозначения: B_u – яркость источника излучения, η – коэффициент пропускания оптической системы, $\delta\lambda$ – спектральная ширина аппаратной функции, $\Delta\lambda$ – ширина спектральной линии, θ – входной апертурный угол.

Результаты экспериментов приведены на рис. 2 *a, b, в*. Обращает внимание на себя тот факт, что излучение на обеих частотах наблюдается из области с резкой пространственной границей и размером $r_{ob} \sim 4r_m$, где r_m – начальный радиус мишени.

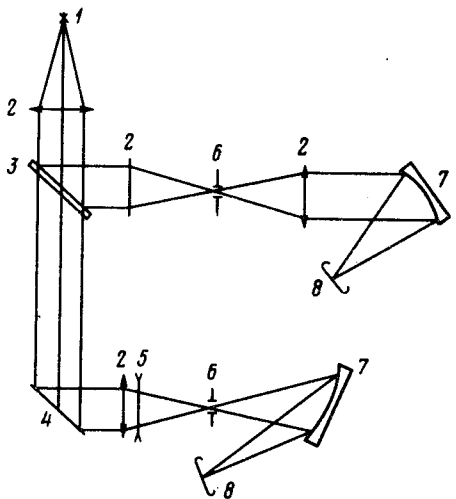


Рис. 1. Принципиальная оптическая схема регистрации излучения, рассеянного плазмой на частотах ω_0 и $2\omega_0$: 1 – мишень, 2 – асферические линзы, 3 – отводящая пластина, 4 – поворотное зеркало, 5 – корректирующая линза, 6 – диафрагмы, 7 – голографические решетки, 8 – фотопленка

Рис. 2. Спектральное и пространственное распределение интенсивности излучения в наблюдаемых спектрах: а – на частоте ω_0 ; б – на частоте $2\omega_0$; в – обзорный спектр на частоте $2\omega_0$

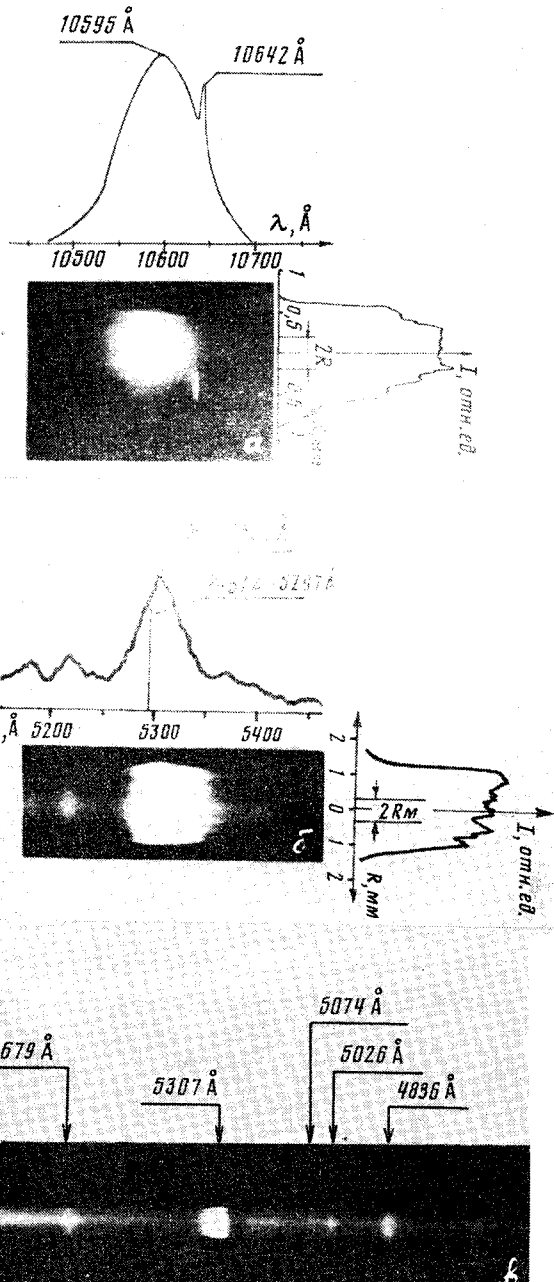


Рис. 2

Объяснить наблюдаемую картину явления механизмами, обусловливающими генерацию гармоник в области плазмы с критической плотностью, не представляется возможным, так как даже если предположить, что вся масса мишени испарилась и заняла объем $V_{об} = 4/3\pi r_{об}^3$ средняя плотность оказывается меньше критической:

$$\rho_{cp} = \frac{3}{A} \rho \left(\frac{r_m}{r_{ob}} \right)^3 < \rho_{kp},$$

где ρ – плотность вещества мишени, A – аспектное отношение. Для характерных параметров мишеней, используемых в экспериментах на установке "Дельфин" ($2r_m = 400$ мкм, $A = 150 - 250$, $\rho = 2,7$ г/см³ (SiO_2)), $\rho_{kp} = 3,33 \cdot 10^{-3}$ г/см³), $\rho_{cp} = 6,5 \cdot 10^{-4}$ г/см³.

Расчет профиля плотности плазмы показывает, что в точке $r = r_{06}$ плотность электронов n_e составляет величину $\sim 10^{19} \text{ см}^{-3}$ (для неодимового лазера критическая плотность равна $n_c = 10^{21} \text{ см}^{-3}$).

Какие же механизмы можно привлечь в этом случае для описания полученных результатов. Естественно предположить, что излучение на частоте ω_0 обусловлено томсоновским рассеянием. При изотропном характере излучения яркость источника можно записать в виде $B_i = \frac{1}{\pi} q_{pl} \sigma n_e \Delta r$, где q_{pl} – плотность потока лазерного излучения, σ – сечение томсоновского рассеяния, Δr – толщина излучающего слоя плазмы. Тогда при значениях параметров $q_{pl} \sim 10^{14} \text{ Вт/см}^2$, $\sigma = 6,5 \cdot 10^{-25} \text{ см}^{-2}$, $\Delta r = 2 \cdot 10^{-2} \text{ см}$, $\eta = 0,2$, $\delta \lambda / \Delta \lambda = 4,3 \cdot 10^{-2}$, $\tau = 3 \text{ нсек}$, $s = 10^{-6} \text{ Дж/см}^2$, имеем $E\tau = 10^{-5} \text{ Дж/см}^2 > s$. Проведенные оценки показывают, что томсоновский механизм рассеяния позволяют объяснить полученные экспериментальные данные по рассеянию на основной частоте.

Обратимся теперь к вопросу о генерации излучения на частоте $2\omega_0$ при $n_e \sim 10^{19} \text{ см}^{-3}$. Данный эффект может быть обусловлен характером движения электрона в поле сильной электромагнитной волны ⁶.

Определим величину $E\tau$, учитывая, что в этом случае $\delta \lambda / \Delta \lambda = 6,7 \cdot 10^{-2}$, $\eta = 3 \cdot 10^{-2}$, а $s = 3 \cdot 10^{-8} \text{ Дж/см}^2$. Подставляя численные значения параметров имеем $E\tau = 3 \cdot 10^{-10} \text{ Дж/см}^2$.

Таким образом, хотя формально указанный механизм и объясняет возможность генерации излучения на частоте $2\omega_0$ при $n_e \sim 10^{19} \text{ см}^{-3}$, но величина энергии в предположении изотропности рассеяния оказывается недостаточной для регистрации. Следовательно, направляется вывод об анизотропном характере рассеяния на частоте $2\omega_0$. Однако, чтобы окончательно ответить на этот вопрос необходимы детальные исследования диаграммы направленности излучения.

Сделаем некоторые замечания по поводу резкой границы области излучения. Наличие такой границы говорит о том, что движение электронов в пространстве является ограниченным. Причиной этого может служить генерация магнитных полей потоками заряженных частиц и образовании филаментов в лазерной плазме ⁷.

Интегрально за время наблюдения можно считать, что в объеме плазмы существует некоторое среднее поле, которое при ее разлете начинает существенным образом сказываться на характере движения электронов, искривляя их траекторию в направлении центра мишени. Величину поля легко оценить:

$$H_{cp} \sim \frac{m_e v_{T_e}^* c}{e R},$$

где R – радиус кривизны в точке поворота, $v_{T_e}^*$ – тепловая скорость электронов при температуре $10 kT_e$.

При $R = 200 \text{ мкм}$, $v_{T_e}^* \sim 6 \cdot 10^9 \text{ см/с}$ ($kT_e \sim 1 \text{ кэВ}$) имеем:

$$H_{cp} \sim 2 \cdot 10^4 \text{ Гс.}$$

Плотность энергии такого поля составит величину $w = H_{cp}^2 / 8\pi \sim 1,6 \cdot 10^7 \text{ эрг/см}^3$. Следовательно, в объеме плазмы ($V_{pl} = 4,2 \cdot 10^{-3} \text{ см}^3$) заключена энергия, соответствующая полю H_{cp} , $\sim 7 \cdot 10^{-3} \text{ Дж}$, что существенно ниже поглощенной энергии ($E_{погл} = 300 - 500 \text{ Дж}$). Таким образом, в корональной оболочке плазмы может иметь место генерация магнитных полей с напряженностью до нескольких десятков килогаусс.

В заключение авторы выражают благодарность Ю.В.Афанасьеву, В.В.Пустовалову и А.А.Руцасову за полезное обсуждение результатов работы.

Литература

- Басов Н.Г., Быченков Ю.В., Крохин О.Н. и др. Квантовая электроника, 1979, 6, 1829.
- McLean E.A., Stamp J.A., Ripin B.H., Gniel H.R., McMahon J.M., Bodner S.E. Appl. Phys. Lett., 1977, 33, 825.

3. *Isihenko M.B., Yan'kov V.V.* Phys. Lett., 1982, 90A, 248.
4. *Басов Н.Г., Данилов А.Е., Круглов Б.В. и др.* Квантовая электроника, 1982, 9, 395.
5. *Басов Н.Г., Данилов А.Е., Калашников М.П. и др.* Письма в ЖЭТФ, 1983, 37, 109.
6. *Ландау Л.Д., Либшиц Е.Н.* Теория поля. М.: Наука, 1973, с. 504.
7. *Алиев Ю.М., Быченков В.Ю., Фролов А.А.* Препринт ФИАН, 1982, №189, с. 7.

Физический институт им. П.Н.Лебедева
Академии наук СССР

Поступила в редакцию
14 сентября 1983г.